
5 Análise de sistemas no domínio da frequência

O termo *resposta na frequência* utiliza-se para designar a resposta de um sistema, em regime estacionário, a uma onda sinusoidal. Esta resposta, para o caso de um sistema linear, é também uma sinusóide, com a mesma frequência, mas com uma amplitude e um desfasamento que dependem da frequência da onda.

Neste capítulo estudaremos três tipos de traçados, de Bode, de Nyquist e de Nichols, e introduzir-se-á um critério para determinação de estabilidade no domínio da frequência.

5.1 Resposta em regime estacionário a uma onda sinusoidal

Seja $G(s)$ a função de transferência de um sistema, cuja entrada é $r(t) = R \sin(\omega t)$. Como

$R(s) = \frac{\omega}{s^2 + \omega^2}$, a transformada de Laplace da saída é:

$$G(s) = \frac{G(j\omega)}{2j(s - j\omega)} - \frac{G(-j\omega)}{2j(s + j\omega)} + \text{termos da forma } \frac{k_i}{s - p_i} \quad (5.1)$$

Se aplicarmos a transformada de Laplace inversa, temos:

$$c(t) = \frac{G(j\omega)}{2j} e^{j\omega t} - \frac{G(-j\omega)}{2j} e^{-j\omega t} + \text{termos da forma } k_i e^{-p_i t} \quad (5.2)$$

Se o sistema for estável, em regime estacionário os termos $k_i e^{-p_i t}$ tenderão para 0, isto é:

$$\begin{aligned} c_{ss}(t) &= \lim_{t \rightarrow \infty} c(t) = \frac{G(j\omega)}{2j} e^{j\omega t} - \frac{G(-j\omega)}{2j} e^{-j\omega t} = \\ &= \frac{|G(j\omega)|}{2j} e^{j(\omega t + \angle G(j\omega))} - \frac{|G(j\omega)|}{2j} e^{-j(\omega t + \angle G(j\omega))} = \quad , \\ &= |G(j\omega)| \sin(\omega t + \angle G(j\omega)) \end{aligned} \quad (5.3)$$

dado que:

$$G(j\omega) = |G(j\omega)| e^{j\angle G(j\omega)} \quad (5.4)$$

Vemos assim que, em regime estacionário, um sistema SLIT responde a uma onda sinusoidal com uma onda sinusoidal, com uma ganho $|G(j\omega)|$ e um desfasamento de $\angle G(j\omega)$. Se variarmos a frequência da onda de entrada, podemos verificar como o *ganho* e a o desfasamento (mais vulgarmente a *fase*) variam com a frequência, isto é, determinamos a resposta na frequência do sistema. Existem 3 tipos de traçados gráficos que são normalmente utilizados, e vamos começar com o diagrama de Bode.

5.2 Traçado logarítmico – Diagramas de Bode

Os diagramas de Bode, também conhecidos como traçados de canto ou logarítmicos, consistem em dois gráficos, o 1º representando o logaritmo do módulo e o 2º a fase, ambos em função do logaritmo da frequência.

Antes de apresentar este traçado, vamos introduzir alguns conceitos:

O logaritmo de um número complexo é também um número complexo, cuja parte real é o logaritmo do módulo, e a parte imaginária é proporcional ao argumento do número:

$$\text{Neperiano} - \ln(G(j\omega)) = \ln(|G(j\omega)|e^{j\angle G(j\omega)}) = \ln(|G(j\omega)|) + j\angle G(j\omega) \quad (5.5)$$

$$\text{Decimal} - \log(G(j\omega)) = \log(|G(j\omega)|e^{j\angle G(j\omega)}) = \log(|G(j\omega)|) + j0,434\angle G(j\omega) \quad (5.6)$$

O módulo, em *decibels* (dB), é dado por $20\log|G(j\omega)| = Lm(G(j\omega))$. Esta notação apresenta algumas vantagens, dado que os valores em dbs de dois números inversos diferem apenas no sinal, quando um número duplica o seu valor, em dbs sobe 6 dBs, e quando um número decuplica o seu valor sobe 20 dBs.

A banda de frequência entre f_1 e f_2 é denominada de *oitava* se $f_2/f_1 = 2$, e é denominada de *década* se $f_2/f_1 = 10$. O número de oitavas entre f_1 e f_2 genéricas é dada por:

$$\frac{f_2}{f_1} = 2^n \Leftrightarrow n = \frac{\log(f_2/f_1)}{\log(2)} \quad (5.7)$$

O número de décadas entre f_1 e f_2 genéricas é dada por:

$$\frac{f_2}{f_1} = 10^n \Leftrightarrow n = \log(f_2 / f_1) \quad (5.8)$$

Tendo em mente estes conceitos, podemos agora apresentar o traçado de Bode. Vamos considerar que partimos duma função de transferência na seguinte forma (caso não esteja devemos converte-la para esta forma):

$$G(j\omega) = \frac{k(1+j\omega T_a)(1+j\omega T_b)^r \dots}{(j\omega)^m (1+j\omega T_1)(1+j\omega T_b)^s \left[1 + \frac{2\xi}{\omega_n} j\omega + \left(\frac{j\omega}{\omega_n}\right)^2\right] \dots} \quad (5.9)$$

O módulo, em dBs de (5.9), é:

$$\begin{aligned} Lm(G(j\omega)) = & Lm(k) + Lm(1+j\omega T_a) + rLm(1+j\omega T_b) + \dots \\ & -mLm(j\omega) - Lm(1+j\omega T_1) - sLm(1+j\omega T_b) - Lm\left[1 + \frac{2\xi}{\omega_n} j\omega + \left(\frac{j\omega}{\omega_n}\right)^2\right] - \dots, \end{aligned} \quad (5.10)$$

e a fase é:

$$\begin{aligned} \angle(G(j\omega)) = & \angle(k) + \angle(1+j\omega T_a) + r\angle(1+j\omega T_b) + \dots \\ & -m\angle(j\omega) - \angle(1+j\omega T_1) - s\angle(1+j\omega T_b) - \angle\left[1 + \frac{2\xi}{\omega_n} j\omega + \left(\frac{j\omega}{\omega_n}\right)^2\right] - \dots. \end{aligned} \quad (5.11)$$

Esta última equação pode escrever-se como:

$$\begin{aligned} \angle(G(j\omega)) = & \angle(k) + \text{atan}(\omega T_a) + r \text{atan}(\omega T_b) + \dots \\ & -m\pi - \text{atan}(1+j\omega T_1) - s \text{atan}(1+j\omega T_b) - \text{atan}\left[1 + \frac{2\xi}{\omega_n} j\omega + \left(\frac{j\omega}{\omega_n}\right)^2\right] - \dots \end{aligned} \quad (5.12)$$

O traçado dos diagramas de Bode obtém-se através das equações (5.10) e (5.12). Como ambas as equações são uma soma de termos, vamos primeiramente abordar o traçado de cada um desses termos.

5.2.1 Diagramas de Bode para diferentes tipos de factores

Analisando as equações (5.10) e (5.12), podemos ver que existem 4 tipos de factores:

$$k \quad (5.13)$$

$$(j\omega)^{\pm m} \quad (5.14)$$

$$\left(\frac{1}{1+jwT} \right)^{\pm r} \quad (5.15)$$

$$\left[1 + \frac{2\zeta}{w_n} jw + \left(\frac{jw}{w_n} \right)^2 \right] \quad (5.16)$$

Vamos esboçar os traçados de Bode para cada tipo de factor, dado que o traçado completo é a soma, frequência a frequência, da contribuição individual de cada termo.

5.2.1.1 Ganho

Um valor de k maior que a unidade possui um valor em dB positivo, enquanto que se for menor o valor é negativo. Em termos de fase, ela será também constante, e igual a 0 ou a π , consoante k seja positivo ou negativo. A seguinte figura mostra o diagrama de Bode, para $k = 10$.

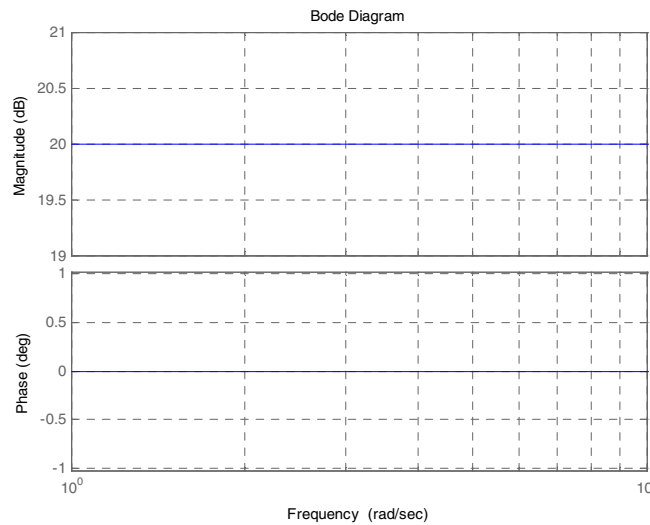


Figura 5.1 – Traçado de Bode para $k = 10$

5.2.1.2 Factores integradores e derivativos

O módulo de $\frac{1}{jw}$, em dB, é dada por:

$$Lm\left(\frac{1}{jw}\right) = -20\log(w) \quad (5.17)$$

Numa escala semi-logarítmica, trata-se de uma recta com um declive de -20 dB/década. Do mesmo modo, um factor derivativo, jw , tem um módulo dado por (5.18), e trata-se de uma recta com um declive de 20 dB/década.

$$Lm(jw) = 20\log(w) \quad (5.18)$$

Caso a multiplicidade do pólo ou zero em s seja m , as rectas têm um declive de $20m$ dB/década.

Em termos de fase, para um termo do tipo $(jw)^{\pm m}$, ela é dada por:

$$\angle((jw)^{\pm m}) = \pm m\pi \quad (5.19)$$

A figura seguinte ilustra o diagrama de Bode para $\frac{1}{jw}$.

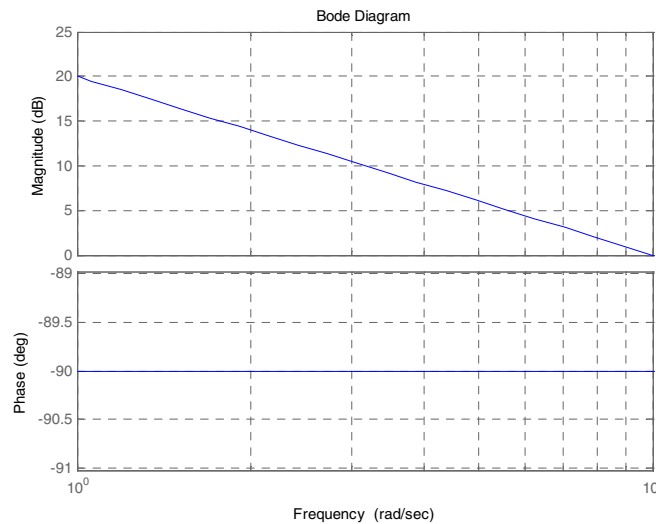


Figura 5.2 – Diagrama de Bode de $\frac{1}{jw}$

5.2.1.3 Factores de 1ª ordem

Vamos começar por $\frac{1}{1+jwT}$. O módulo, em dB, é dado por:

$$Lm\left(\frac{1}{1+jwT}\right) = -20\log\left(\sqrt{1+w^2T^2}\right) \quad (5.20)$$

Para $w \ll 1/T$, (5.20) pode ser aproximada por $-20\log(1) = 0$ dB. Para $w \gg 1/T$, (5.20) pode ser aproximada por $-20\log(wT)$, que representa uma recta com um declive de -20 dB/década. Estas aproximações assintóticas, ou assíntotas, cruzam-se para $w_c = \frac{1}{T}$, frequência que se designa por frequência de canto. O erro entre a curva real e a aproximação assintótica é maximo para w_c , e vale $-20\log(\sqrt{2}) = -10\log(2) \approx -3$ dB.

No que respeita `fase, é dada por:

$$\left\langle \left(\frac{1}{1+jwT} \right) \right\rangle = -\text{atan}(jwT) \quad (5.21)$$

Para a frequência de canto, a fase é de $-\pi/4$, e varia, à medida que w varia de 0 a ∞ , de 0 a $-\pi/2$. A aproximação que se faz é considerar que a fase pode ser considerada como uma função linear por partes, dada por:

$$\left\langle \left(\frac{1}{1+jwT} \right) \right\rangle = \begin{cases} 0, & w < w_c \\ -\frac{\pi}{4}, & w = w_c \\ -\frac{\pi}{2}, & w > w_c \end{cases} \quad (5.22)$$

O traçado de zeros não oferece problemas de maior dado que:

$$Lm(1+jwT) = -Lm\left(\frac{1}{1+jwT}\right), \text{ e} \quad (5.23)$$

$$\left\langle (1+jwT) \right\rangle = -\left\langle \left(\frac{1}{1+jwT} \right) \right\rangle. \quad (5.24)$$

Se considerarmos pólos ou zeros múltiplos, as equações anteriores transformam-se em:

$$Lm(1+jwT)^{\pm r} = \pm r Lm(1+jwT), \text{ e} \quad (5.25)$$

$$\left\langle (1+jwT)^{\pm r} \right\rangle = \pm r \left\langle (1+jwT) \right\rangle. \quad (5.26)$$

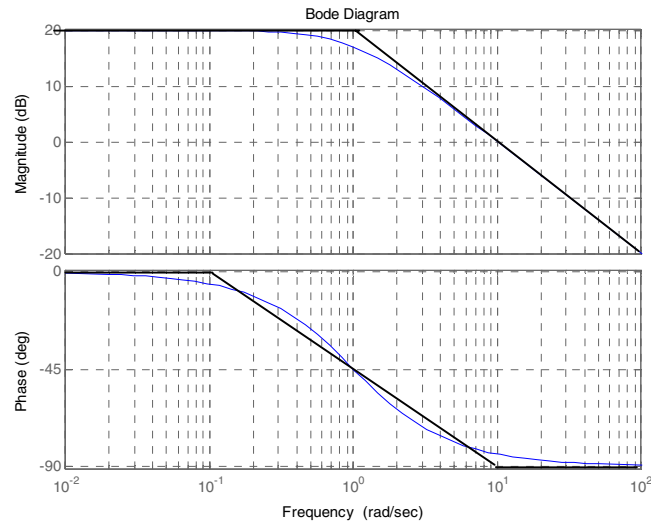


Figura 5.3 – Diagramas de Bode real e assintótico de $\frac{1}{1+jw}$

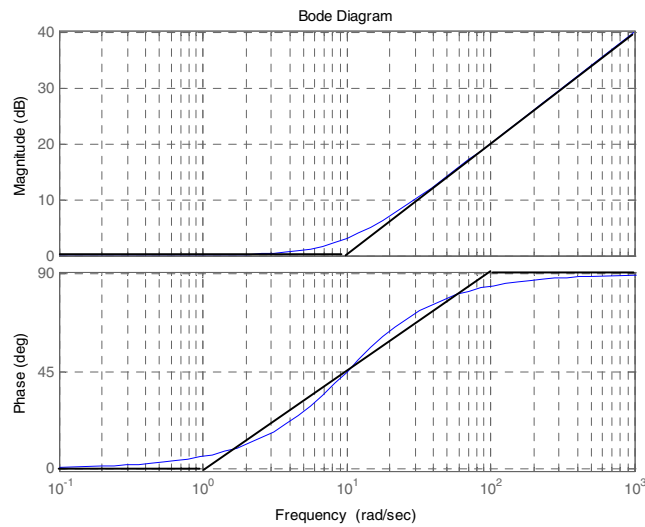


Figura 5.3 – Diagramas de Bode real e assintótico de $\left(1 + \frac{jw}{10}\right)$

5.2.1.4 Factores quadráticos

Quando os pólos ou zeros são complexos conjugados, aparecem factores quadráticos, do tipo:

$$\frac{1}{\left[1 + \frac{2\xi}{w_n} jw + \left(\frac{jw}{w_n}\right)^2\right]}, \quad (5.27)$$

para o caso de pólos. Estamos aqui a considerar que $\xi < 1$ pois, caso contrário, os pólos seriam reais e estaríamos no caso anterior. O módulo, em dB, é dado por:

$$\begin{aligned} Lm \left[\frac{1}{\left[1 + \frac{2\xi}{w_n} jw + \left(\frac{jw}{w_n}\right)^2\right]} \right] &= -20 \log \left(\sqrt{\left(1 + \frac{2\xi}{w_n} jw + \left(\frac{jw}{w_n}\right)^2\right)^2} \right) = \\ &= -20 \log \left(\sqrt{\left(1 - \left(\frac{w}{w_n}\right)^2\right)^2 + \left(\frac{2\xi}{w_n} w\right)^2} \right) \end{aligned} \quad (5.28)$$

e a sua fase como:

$$\angle \left[\frac{1}{\left[1 + \frac{2\xi}{w_n} jw + \left(\frac{jw}{w_n}\right)^2\right]} \right] = -\text{atan} \left(\frac{\frac{2\xi}{w_n} w}{1 - \left(\frac{w}{w_n}\right)^2} \right) \quad (5.29)$$

Do mesmo modo que fizémos para factores de 1ª ordem, podemos ver que, para o módulo, quando $w \ll w_n$, (5.29) pode ser aproximada por $-20 \log(1) = 0$ dB. Para $w \gg w_n$, (5.29) pode ser aproximada por $-40 \log\left(\frac{w}{w_n}\right)$, que representa uma recta com um declive de -40 dB/década. As 2 assíntotas cruzam-se em $w = w_n$, que é a frequência de canto. Já vimos que quando $\xi < 1$, a resposta a um degrau apresenta um pico. Do mesmo modo, quando $\xi < 1/\sqrt{2} = 0.707$ existe um pico na resposta em frequência. A frequência para a qual esse pico ocorre chama-se *frequência de ressonância*, e é dada por:

$$w_r = \frac{1}{2\xi \sqrt{1 - 2\xi^2}}, \quad (5.30)$$

que depende apenas de ξ , e o valor do pico é dado por:

$$M_r = w_n \sqrt{1 - 2\xi^2} \quad (5.31)$$

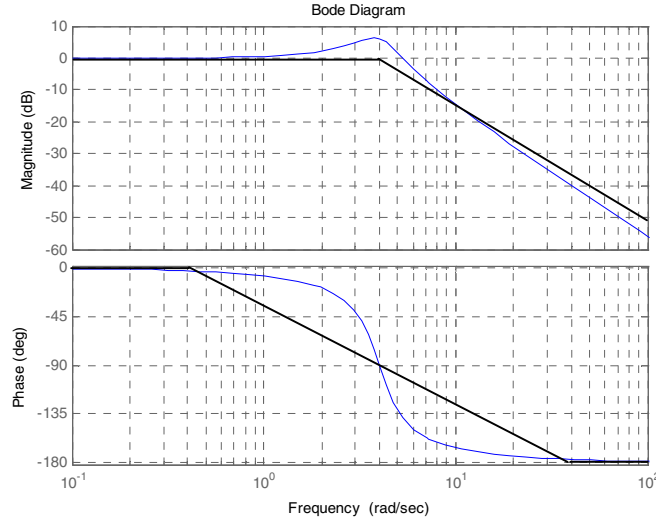


Figura 5.4 – Diagramas de Bode real e assintótico de $\frac{1}{1 + \frac{2\xi}{w_n} jw + \left(\frac{jw}{w_n}\right)^2}$, com $\xi = 0.25$ e $w_n = 4$

Para o caso de pólos e zeros múltiplos, utilizam-se as equações:

$$Lm \left[1 + \frac{2\xi}{w_n} jw + \left(\frac{jw}{w_n} \right)^2 \right]^{\pm r} = \pm r Lm \left[1 + \frac{2\xi}{w_n} jw + \left(\frac{jw}{w_n} \right)^2 \right], \text{ e} \quad (5.32)$$

$$\left\langle \left[1 + \frac{2\xi}{w_n} jw + \left(\frac{jw}{w_n} \right)^2 \right]^{\pm r} \right\rangle = \pm r \left[1 + \frac{2\xi}{w_n} jw + \left(\frac{jw}{w_n} \right)^2 \right]. \quad (5.33)$$

5.2.2 Diagramas de Bode de uma função de transferência genérica

Para uma função de transferência genérica somam-se as contribuições, ponto a ponto, dos vários factores. Utilizando os exemplos dados nas sub-seções anteriores, vamos considerar a função de transferência para a frente:

$$G(s) = \frac{20 \left(1 + \frac{jw}{10} \right)}{(jw)(1 + jw) \left[1 + \frac{1}{8} jw + \left(\frac{j}{4} \right)^2 \right]} \quad (5.34)$$

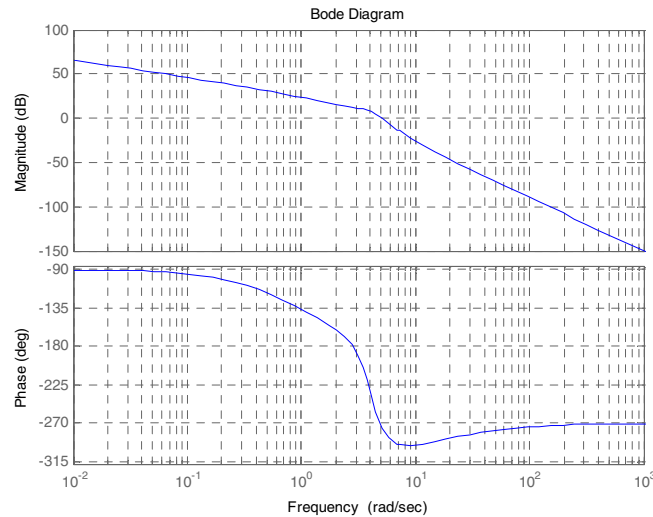
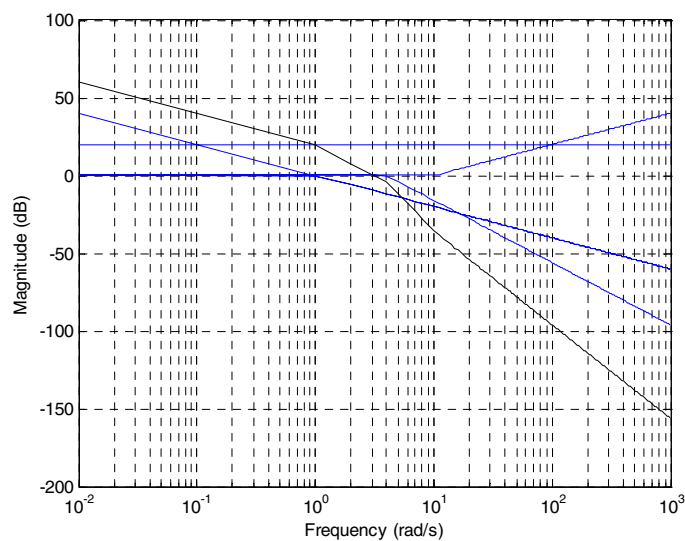


Figura 5.5 – Diagramas de Bode real de $G(s) = \frac{20 \left(1 + \frac{jw}{10} \right)}{(jw)(1 + jw) \left[1 + \frac{1}{8} jw + \left(\frac{j}{4} \right)^2 \right]}$

Na fig. 5.5 apresentam-se os diagramas reais de Bode. Nas figura seguinte os assintóticos, onde, a preto, se apresentam os diagramas globais e a azul os individuais.



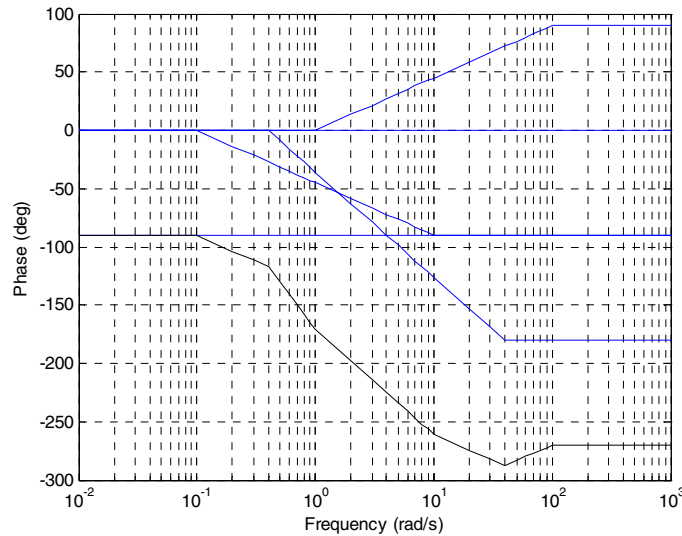


Figura 5.6 – Diagramas de Bode assintóticos de $G(s) = \frac{20\left(1 + \frac{jw}{10}\right)}{(jw)(1 + jw)\left[1 + \frac{1}{8}jw + \left(\frac{j}{4}\right)^2\right]}$

5.2.3 Sistemas com fase mínima

As funções de transferência que não possuem singularidades (pólos e zeros) do lado direito do plano s são chamados de *sistemas de fase mínima*. Para esses sistemas o diagrama de fases pode-se obter directamente do digrama de amplitudes, e o diagrama de amplitudes pode-se obter do de fases, desde que se conheça a magnitude para uma frequência. Para os sistemas com fase mínima, o ângulo de fase para $w = \infty$ é obtido de $-90(n - m)$, sendo n o número de pólos e m o número de zeros. Para esses sistemas, a partir de um dos diagramas assintóticos é possível determinar a função de transferência do sistema através da análise do declive das rectas (no caso de se usar o diagrama de fase tem que se conhecer a magnitude para uma frequência, para se determinar o ganho). No caso de o sistema ser de fase não-mínima, a função de transferência pode também ser determinada, mas é necessário os dois diagramas simultaneamente.

5.3 Traçado polar - Diagramas de Nyquist

O *traçado polar*, ou *diagrama de Nyquist*, de uma função de transferência é o lugar geométrico descrito, em coordenadas polares, pelos pontos cujo módulo é $|G(jw)|$ e cuja fase é $\angle G(jw)$, quando w varia de 0 a ∞ . Enquanto no traçado Bode existiam 2 gráficos (de módulo e de fase), toda a informação é condensada aqui num só gráfico. O gráfico polar de $G(jw)$ é chamado de traçado directo, enquanto que o gráfico de $[G(jw)]^{-1}$ é chamado de *traçado inverso*.

A obtenção de um diagrama de Nyquist detalhado pressupõe a utilização de um pacote CADSC, como Matlab. No entanto, ele pode ser esboçado através de técnicas que descreveremos de seguida.

Vamos considerar que utilizaremos funções de transferência descritas como:

$$G(s) = \frac{k \prod_{i=1}^{n_z} (s + z_i)}{s^m \prod_{j=1}^{n_p} (s + p_j)} \quad (5.35)$$

com ganho DC k , n_z zeros, n_p pólos fora da origem, e m pólos na origem. Sabemos que o módulo de (5.35) é dado por:

$$|G(jw)| = \frac{|k| \prod_{z=1}^{n_z} \sqrt{1 + w^2 T_z^2}}{w^m \prod_{p=1}^{n_p} \sqrt{1 + w^2 T_p^2}}, \quad (5.36)$$

e a sua fase por:

$$\angle G(jw) = \angle k + \sum_{z=1}^{n_z} \tan^{-1}(w T_z) - \frac{m\pi}{2} - \sum_{p=1}^{n_p} \tan^{-1}(w T_p) \quad (5.37)$$

Conforme iremos ver no capítulo seguinte, por vezes necessitamos de calcular o diagrama de Nyquist para frequências negativas. Tal não constitui problema, dado sabermos que:

$$G(jw) = \overline{G(jw)} \quad (5.38)$$

5.3.1 Diagramas de Nyquist para diferentes factores

Do mesmo modo que fizémos para o digrama de Bode, vamos determinar o diagrama de Nyquist para cada tipo de factores que aparecem nas funções de transferência.

5.3.1.1 Integradores e derivativos

O traçado polar para um factor integrador - $G(jw) = \frac{1}{jw}$ - coincide com o semi-eixo imaginário negativo, dado que:

$$G(jw) = \frac{1}{jw} = \frac{1}{w} e^{-j\frac{\pi}{2}} \quad (5.39)$$

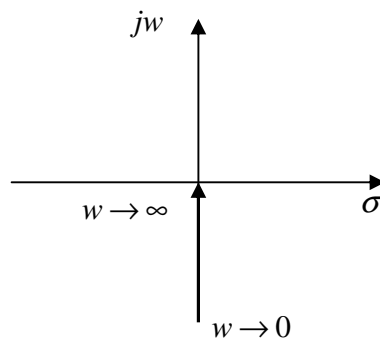


Figura 5.7 – Traçado polar de um factor integrador

Do mesmo modo, o traçado polar para um factor derivativo - $G(jw) = jw$ - coincide com o semi-eixo imaginário positivo, dado que:

$$G(jw) = jw = we^{j\frac{\pi}{2}} \quad (5.40)$$

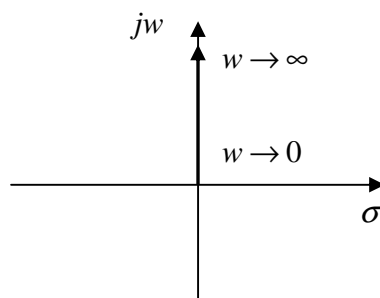


Figura 5.8 – Traçado polar de um factor derivativo

5.3.1.2 Factores de primeira ordem

Consideremos primeiramente pólos - $G(jw) = \frac{k}{1 + jwT}$. Sabemos que pode ser expresso, na forma polar, por:

$$G(jw) = \frac{k}{\sqrt{1 + w^2 T^2}} e^{-j \tan^{-1}(wT)} \quad (5.41)$$

Podemos representar esta função numa forma tabelar:

w	0	1/T	w	∞
$ G(jw) $	k	$\frac{k}{\sqrt{2}}$	$\frac{k}{\sqrt{1 + w^2 T^2}}$	0
$\angle G(jw)$	0	$-\frac{\pi}{4}$	$-\tan^{-1}(wT)$	$-\frac{\pi}{2}$

Este traçado corresponde a um semi-círculo. As partes reais e imaginárias de (5.41) são:

$$x = \frac{k}{1 + w^2 T^2}; \quad y = -\frac{kTkw}{1 + w^2 T^2} \quad (5.42)$$

e satisfazem a equação:

$$\left(x - \frac{k}{2}\right)^2 + y^2 = \left(\frac{k}{2}\right)^2 \quad (5.43)$$

Obviamente, esta é uma equação de uma circunferência centrada em $\left(\frac{k}{2}, 0\right)$ e com raio $\frac{k}{2}$. O diagrama polar está esboçado na figura seguinte.

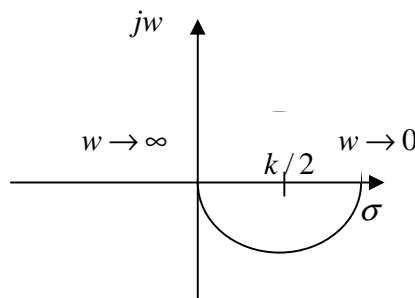


Figura 5.9 – Traçado polar de um factor de 1ª ordem (pólo)

Para um zero $-1 + j\omega T$, é fácil de ver que o traçado é uma semi-recta paralela ao semi-eixo imaginário positivo, centrada em 1.

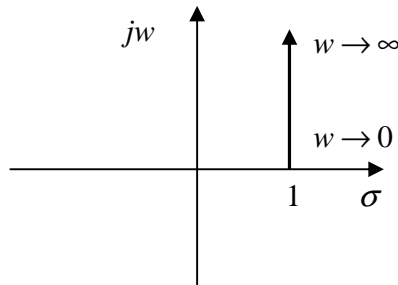


Figura 5.10 – Traçado polar de um factor de 1ª ordem (zero)

5.3.1.3 Factores quadráticos

Consideremos primeiro pólos - $G(j\omega) = \frac{1}{1 + 2\xi \left(j \frac{\omega}{\omega_n} \right) + \left(\frac{j\omega}{\omega_n} \right)^2}$. Construindo uma tabela

conforme se fez anteriormente, temos:

ω	0	ω_n	ω	∞
$ G(j\omega) $	1	$\frac{1}{2\xi}$	$\frac{1}{\sqrt{\left(1 - \frac{\omega^2}{\omega_n^2}\right)^2 + \left(\frac{2\xi\omega}{\omega_n}\right)^2}}$	0
$\angle G(j\omega)$	0	$-\frac{\pi}{2}$	$-\tan^{-1} \left(\frac{\frac{2\xi\omega}{\omega_n}}{1 - \frac{\omega^2}{\omega_n^2}} \right)$	$-\pi$

A forma exacta do traçado irá depender da razão de amortecimento. Independentemente disso, o traçado começa em $1 \angle 0^\circ$ e termina em $\infty \angle -\pi$. Para sistemas com $0 < \xi < 0.7$, o ponto do traçado mais distanciado da origem corresponde à frequência de ressonância $\omega_r = \omega_n \sqrt{1 - 2\xi^2}$.

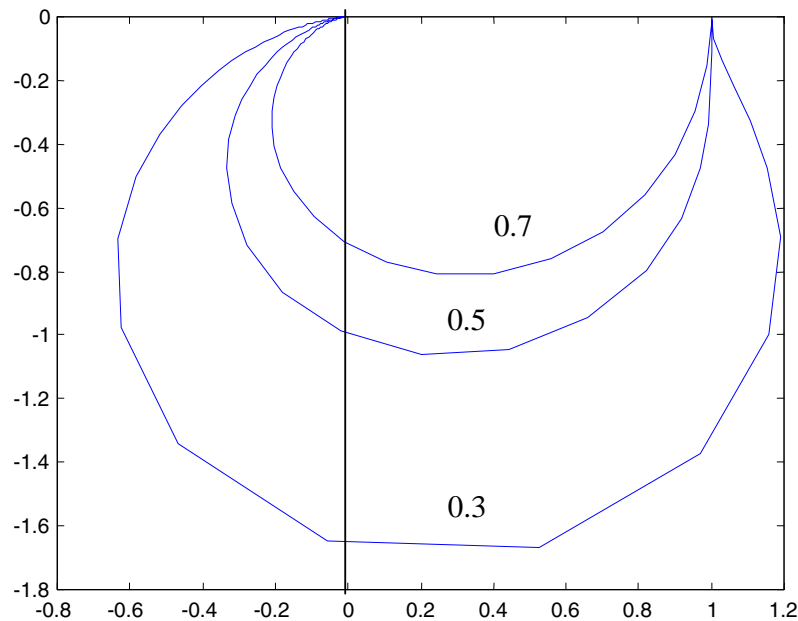


Figura 5.11 – Traçado polar de um termo quadrático (pólos)

Para os termos quadráticos correspondentes a zeros, o traçado começa em $1/0^\circ$ e termina em ∞/π .

5.3.1.4 Factor de atraso

Para os termos $G(j\omega) = e^{-j\omega T}$, dado que:

$$G(j\omega) = e^{-j\omega T} = \cos(\omega T) - j \sin(\omega T) \quad (5.44)$$

o traçado é uma circunferência centrada na origem e de raio unitário.

5.3.2 Diagramas de Nyquist para funções de transferência genéricas

O comportamento do traçado, quando $\omega \rightarrow 0$, depende apenas do número de singularidades na origem. Atendendo à nossa função de transferência genérica

$$G(s) = \frac{k \prod_{z=1}^{n_z} (1 + sT_z)}{s^m \prod_{p=1}^{n_p} (1 + sT_p)} \quad (5.45)$$

então:

$$\lim_{w \rightarrow 0} G(jw) = \lim_{w \rightarrow 0} \frac{k \prod_{z=1}^{n_z} (1 + jwT_z)}{(jw)^m \prod_{p=1}^{n_p} (1 + jwT_p)} = \lim_{w \rightarrow 0} \frac{k}{(jw)^m} \quad (5.46)$$

Assim, o diagrama provém do infinito quando $m > 0$, com um ângulo de $-m \frac{\pi}{2}$. Quando $m=0$, provém do eixo real positivo, do ponto k . Quando $m < 0$, provém da origem.

O comportamento do traçado, quando $w \rightarrow \infty$, depende da diferença entre os graus das polinomiais do denominador e do numerador. Para a função ser fisicamente realizável, temos $w \rightarrow \infty$. Dividindo o numerador e o denominador por $(jw)^{n_z}$, temos:

$$\lim_{w \rightarrow \infty} G(jw) = \frac{a_{n_z}}{(jw)^l}, \quad l = m + n_p - n_z \quad (5.47)$$

Quando $l > 0$, o diagrama morre na origem, com um ângulo de $-l \frac{\pi}{2}$. Quando $l=0$, o traçado acaba no eixo real em a_{n_z} .

5.3.3 Traçado de Nyquist quando existem pólos no eixo imaginário

Se $G(s)$ possuir pólos no eixo imaginário, em $s = \pm jw_0$, então deveremos expandir $G(s)$ em fracções parciais.

$$G(s) = \frac{k_{w_0}}{(s - jw_0)^n} + \{\text{outros termos}\} \quad (5.48)$$

sendo

$$k_{w_0} = \lim_{w \rightarrow w_0} (s - jw_0) G(s) \quad (5.49)$$

Para valores de w na vizinhança de w_0 , podemos considerar:

$$G(jw) \approx \frac{k_{w_0}}{(jw - jw_0)^n} = \frac{k_{w_0}}{j^n (w - w_0)^n} \quad (5.50)$$

A partir de (5.50), temos que:

$$\lim_{w \rightarrow w_0} |G(jw)| = \infty, \quad (5.51)$$

e

$$\lim_{w \rightarrow w_0} \angle G(jw) = \begin{cases} -n \frac{\pi}{2}, & n \text{ par} \\ -n \frac{\pi}{2}, & w > w_0 \\ -(n+2) \frac{\pi}{2}, & w < w_0 \end{cases}, \quad n \text{ impar} \quad (5.52)$$

5.4 Traçado de Nichols

Neste tipo de traçado, à semelhança do diagrama de Nyquist, usa-se apenas um único gráfico, neste caso do logaritmo da amplitude, em dbs, versus a fase.

Para este tipo de traçado, os gráficos de $G(jw)$ e de $G^{-1}(jw)$ são anti-simétricos em relação à origem, dado que:

$$|G^{-1}(jw)|(db) = -|G(jw)|(db) \quad (5.53)$$

e

$$\angle G^{-1}(jw) = -\angle G(jw) \quad (5.54)$$

Para estes traçados, uma variação de ganho traduz-se apenas numa translacção do gráfico.

A seguir apresentam-se os traçados de Nichols para alguns termos usuais.

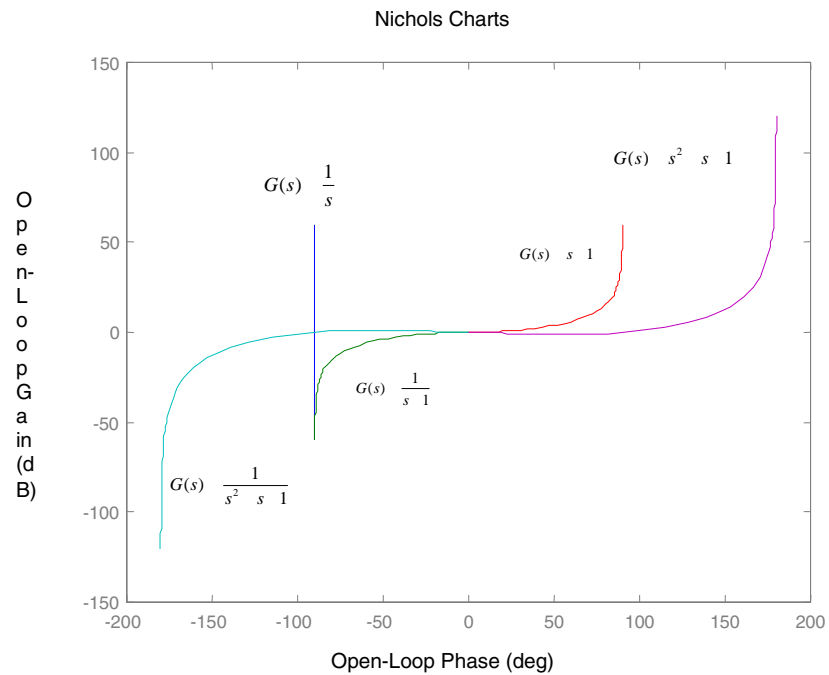
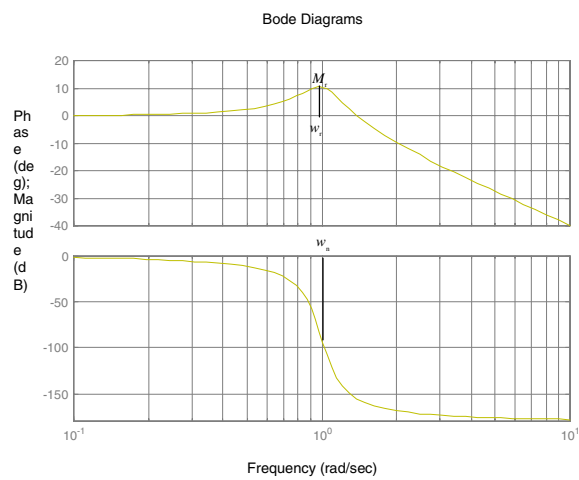


Figura 5.12 – Diagramas de Nichols para diferentes termos

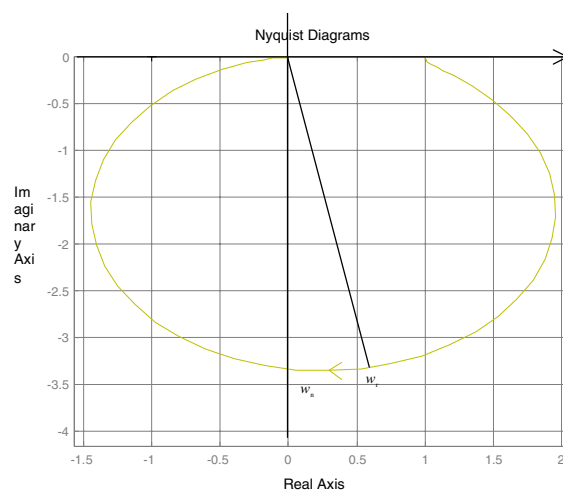
5.5 Comparação dos vários traçados

A figura seguinte compara os diferentes traçados para a função quadrática

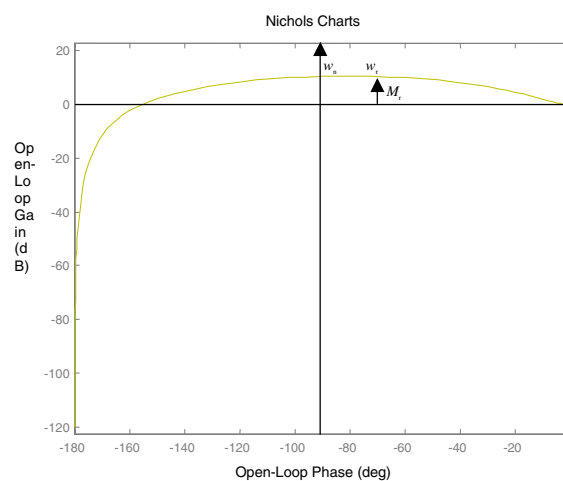
$$G(s) = \frac{1}{\left(\frac{s}{w_n}\right)^2 + 2\zeta \frac{s}{w_n} + 1}.$$



a) Bode



b) Nyquist



c) Nichols

Figura 5.13 – Diferentes traçados

5.6 Critério de estabilidade de Nyquist

O critério de estabilidade de Nyquist baseia-se no teorema de Cauchy, e traduz-se na aplicação de uma transformação conforme de um contorno no plano s por uma determinada função. Estes conceitos foram introduzidos na disciplina de Matemática Aplicada.

Já foi referido que, para que um sistema em malha fechada seja estável, a sua polinomial característica $\Delta(s) = 1 + G(s)H(s)$ deve ter todas as raízes no semi-plano esquerdo. O critério de Nyquist vai determinar se isso é verdade ou não, mas no plano $G(s)H(s)$.

5.6.1 Bases matemáticas

Convém relembrar os conceitos de *rodeado* e *fechado*. Um ponto P diz-se rodeado pelo caminho Γ se este percurso envolver P . A região situada à esquerda desse caminho, se este for percorrido no sentido da seta, diz-se que é *fechada* por Γ .

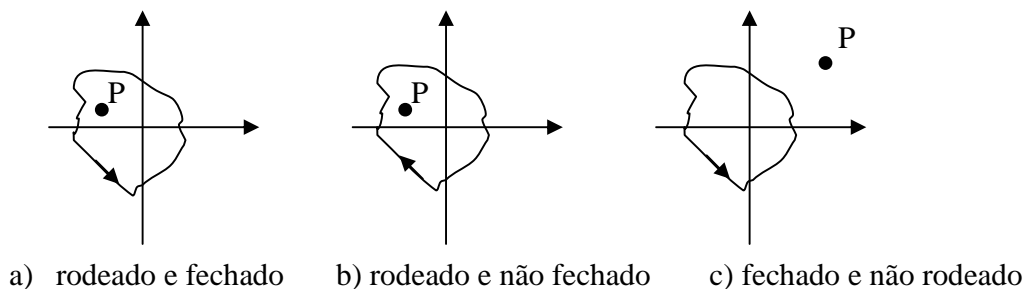


Figura 5.14 – Noção de rodeado e fechado

Admitamos que a função $F(s)$ é uma função analítica em todo o plano s , excepto num número finito de pontos, e escolha-se um contorno fechado Γ_s no plano s onde $F(s)$ é analítica. Se fizermos a transformação conforme deste caminho pela função $F(s)$ vamos obter no plano $F(s)$ também um contorno fechado, que designaremos por Γ_F .

O teorema de Cauchy diz-nos que, se Γ_s rodeia Z zeros e P pólos de $F(s)$ no plano s , então a sua representação conforme no plano $F(s)$ rodeia a origem N vezes, onde $N = Z - P$, no mesmo sentido em que Γ_s rodeia as singularidades no plano s se N é positivo, e em sentido contrário se N é negativo.

Este conceito é fácil de entender, se atentarmos na figura seguinte. Na fig. a) estão representados o contorno Γ_s e os pólos e zeros da função $F(s)$. Repare que quando nos movemos ao longo de Γ_s , a contribuição angular total de ϕ_1, ϕ_2 e Ψ_2 é nula. No entanto, a contribuição angular total de Ψ_1 é de 2π , positiva visto tratar-se de um zero. Portanto, a inspecção do mapeamento $F(s)$ – uma rotação completa no mesmo sentido – demonstra-

nos que estamos na presença de um zero dentro do contorno Γ_s , dado que o número de pólos dentro desse contorno é nulo.

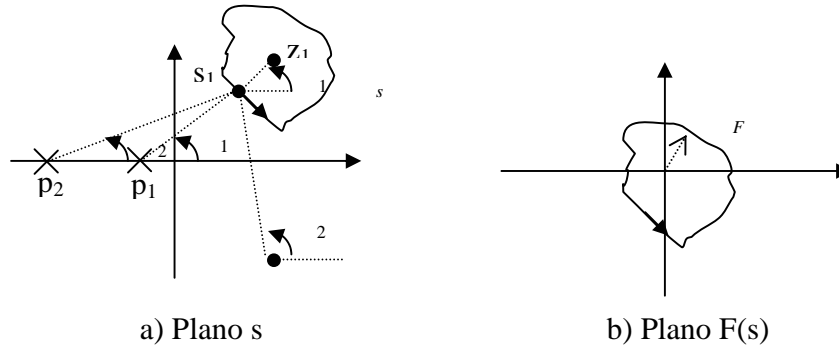


Figura 5.15 – Exemplo

5.6.2 Aplicação para sistemas de controlo

Em controlo, estamos interessados em saber se os zeros de $\Delta(s) = 1 + G(s)H(s)$ estão todos no semi-plano esquerdo, ou não. Se considerarmos $F(s) = G(s)H(s)$, então podemos aplicar directamente os conceitos anteriores, com a diferença de que temos de inspeccionar quantas vezes o ponto $-1 = -1 + j0$ é rodeado. Se considerarmos Γ_s um contorno que feche todo o semi-plano direito, a aplicação directa do teorema de Cauchy diz-nos que a sua representação conforme no plano $F(s)$ rodeia o ponto $-1 = -1 + j0$ N vezes, onde $N = Z - P$, no mesmo sentido em que Γ_s rodeia as singularidades no plano s se N é positivo, e em sentido contrário se N é negativo.

Como:

$$\Delta(s) = 1 + G(s)H(s) = 1 + \frac{kN_{G(s)}N_{H(s)}}{D_{G(s)}D_{H(s)}} = \frac{D_{G(s)}D_{H(s)} + kN_{G(s)}N_{H(s)}}{D_{G(s)}D_{H(s)}} \quad (5.55)$$

podemos saber os pólos da função, e os zeros são determinados através de $Z = N + P$. O sistema é estável se $Z = 0$, isto é, se $N = -P$.

O contorno Γ_s tem que fechar o semi-plano direito do plano s , mas a função deve ser analítica neste contorno. Caso $F(s)$ possua pólos no eixo imaginário, o caminho deve contorná-los. Assim, admitindo esta situação, utilizaremos o seguinte contorno:

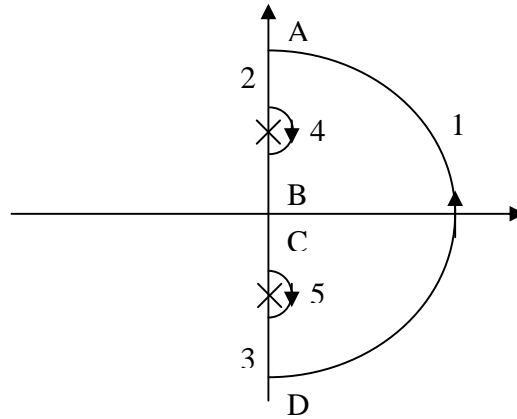


Figura 5.16 – Contorno no plano s

Podemos considerar este contorno dividido em 5 partes:

1. Neste caso temos uma semi-circunferência de raio infinito, cujo ângulo varia de

$-\frac{\pi}{2}$ a $\frac{\pi}{2}$. Portanto, para determinar a transformação conforme, calculamos

$$\lim_{R \rightarrow \infty} F(s) \Big|_{s=R e^{j\theta}} \quad (5.56)$$

2. Para este caso, a transformação coincide com o diagrama de Nyquist, com a diferença de que w varia de ∞ a 0;

3. Trata-se do simétrico da transformação obtida no ponto anterior, dado que

$$F(-jw) = \overline{F(jw)}$$

4. O contorno no plano s é uma semi-circunferência de raio infinitesimal, cujo ângulo

varia de $\frac{\pi}{2}$ a $-\frac{\pi}{2}$. Para determinar a transformação conforme, calculamos

$$\lim_{\varepsilon \rightarrow 0} F(s) \Big|_{s-jw_0=\varepsilon e^{j\theta}} \quad (5.57)$$

5. A mesma coisa que o ponto anterior, com a diferença que a substituição é

$$s + jw_0 = \varepsilon e^{j\theta}.$$

5.6.3 Exemplo de aplicação

Vamos determinar a estabilidade do sistema de controlo cuja função de transferência em

malha aberta é $GH(s) = \frac{k}{s(sT_1 + 1)(sT_2 + 1)}$.

Primeiramente, vamos esboçar o diagrama de Nyquist, isto é, o mapeamento da semi-recta 2 da fig. 5.16 pela função $F(s) = G(s)H(s)$. Fazendo a tabela, temos:

w	0	w	∞
$ F(jw) $	∞	$\frac{1}{w\sqrt{(1+w^2T_1^2)(1+w^2T_2^2)}}$	0
$\angle G(jw)$	$-\frac{1}{2}\pi$	$-\frac{\pi}{2} - \tan^{-1}(wT_1) - \tan^{-1}(wT_2)$	$-\frac{3}{2}\pi$

O diagrama de Nyquist está representado na figura seguinte (para $k=2$, $T_1=10$, $T_2=1$):

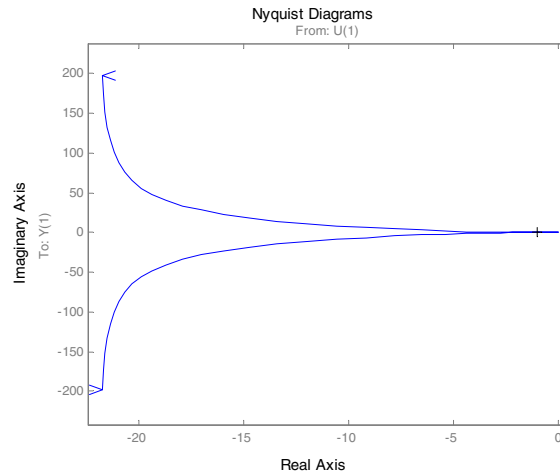


Figura 5.17 –Diagrama de Nyquist

O sistema possui um pólo em $s=0$. Corresponde ao mapeamento de um semi-circunferência de raio infinitesimal, do tipo 4 ou 5, centrada em 0. Temos assim:

$$\lim_{\varepsilon \rightarrow 0} F(s) \Big|_{s=\varepsilon e^{j\theta}} = \lim_{\varepsilon \rightarrow 0} \frac{k}{\varepsilon e^{j\theta} (\varepsilon e^{j\theta} T_1 + 1)(\varepsilon e^{j\theta} T_2 + 1)} = \infty e^{-j\theta} \quad (5.58)$$

Como θ varia de $\frac{\pi}{2} \rightarrow -\frac{\pi}{2}$ então o ângulo de $F(s)$ varia de $-\frac{\pi}{2} \rightarrow +\frac{\pi}{2}$. A figura seguinte ilustra este facto.

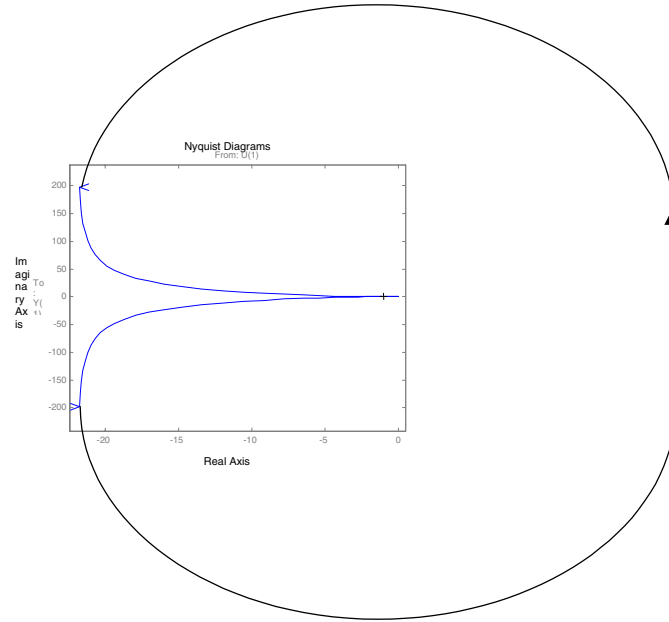


Figura 5.18 –Contorno no plano $F(s)$

Relativamente à semi-circunferência de raio infinito (tipo 1), teremos o seguinte mapeamento:

$$\lim_{\varepsilon \rightarrow \infty} F(s) \Big|_{s=\varepsilon e^{j\theta}} = \lim_{\varepsilon \rightarrow \infty} \frac{k}{\varepsilon e^{j\theta} (\varepsilon e^{j\theta} T_1 + 1)(\varepsilon e^{j\theta} T_2 + 1)} = 0 e^{-j3\theta} \quad (5.59)$$

Como θ varia de $-\frac{\pi}{2} \rightarrow \frac{\pi}{2}$ então o ângulo de $F(s)$ varia de $\frac{3\pi}{2} \rightarrow -\frac{3\pi}{2}$. Este contorno não é representado no gráfico.

Embora não seja muito perceptível no gráfico, o ponto $-1+j0$ é rodeado 1 vez. Isto implica que, dado o número de pólos de $F(s)$ no semi-plano direito ser nulo, existe um zero de $F(s)$ no semi-plano direito, isto é, o sistema é instável. A estabilidade do sistema genérico depende do ponto em que o traçado de Nyquist intersecta o semi-eixo real negativo de $F(s)$. Se intersectar antes de $-1+j0$, o sistema é instável; caso contrário é estável. Obviamente isto depende de uma relação entre o ganho e as constantes de tempo. Esta relação pode-se determinar de duas maneiras:

Vamos representar $F(s)$ em termos de parte real e imaginária. Temos então:

$$\begin{aligned} F(jw) &= \frac{k}{jw(jwT_1 + 1)(jwT_2 + 1)} = \frac{k}{jw(-w^2T_1T_2 + jw(T_1 + T_2) + 1)} = \\ &= \frac{k}{jw(1 - w^2T_1T_2) - w^2(T_1 + T_2)} = \frac{k[-w^2(T_1 + T_2) - jw(1 - w^2T_1T_2)]}{(w^2(T_1 + T_2))^2 + w^2(1 - w^2T_1T_2)^2} \end{aligned} \quad (5.60)$$

A parte imaginária é nula quando $(w = 0) \vee (1 - w^2T_1T_2 = 0)$. A 2ª igualdade corresponde

a $w = \pm \frac{1}{\sqrt{T_1T_2}}$. Para essas frequências, a parte real vale $F(jw) = -\frac{k}{\frac{T_1 + T_2}{T_1T_2}}$. Isto é,

quando:

$$0 < k < \frac{T_1 + T_2}{T_1T_2} \quad (5.61)$$

o sistema é estável.

Outra maneira será aplicar a rede de Routh-Hurwitz. A polinomial característica é:

$$\Delta = s^3T_1T_2 + s^2(T_1 + T_2) + s + k \quad (5.62)$$

A rede de Routh-Hurwitz é então:

$$\begin{array}{r|rr} s^3 & T_1T_2 & 1 \\ s^2 & T_1 + T_2 & k \\ \hline s^1 & \frac{(T_1 + T_2) - kT_1T_2}{T_1 + T_2} & 0 \\ s^0 & k & \end{array}$$

O sistema é estável se $0 < k < \frac{T_1 + T_2}{T_1T_2}$. Formando a equação auxiliar, para $k = k_c$, temos

$$w = \pm \frac{1}{\sqrt{T_1T_2}}.$$

5.6.4 Sistemas com tempo de atraso

Considere-se o sistema $G(s)e^{-s\tau}$, com $G(s)$ racional e só com pólos. Sabemos que o seu módulo é $|G(jw)e^{-jw\tau}| = |G(jw)|$ e $\angle G(jw)e^{-jw\tau} = \angle G(jw) - w\tau$. O seu diagrama de

Nyquist é então uma espiral decrescente. Caso a fase seja maior que $-\pi$ quando o seu módulo é igual a 1, então o sistema é estável, dado que, quando a fase diminuir para $-\pi$, o seu módulo é menor que 1.

5.7 Margens de ganho e de fase

Conforme se viu, em sistemas que potencialmente podem ser instáveis, um aumento de ganho normalmente traduz-se numa variação do grau de estabilidade do sistema. Quanto mais perto o diagrama de Nyquist passar do ponto $-1+j0$, mais rápida e oscilatória será a resposta do sistema. A *estabilidade relativa* pode então exprimir-se em função da distância mínima entre o traçado de Nyquist de $GH(s)$ e o ponto $-1+j0$. Esta estabilidade relativa mede-se normalmente em termos de *margens de ganho* e de *margens de fase*.

A *margem de ganho* é o factor pelo qual é necessário multiplicar o ganho para que o sistema se torne marginalmente estável. Se w_c é a frequência (*frequência da margem de ganho*) para a qual a fase de $GH(jw)$ é $-\pi$, então a margem de ganho, a , é definida como:

$$|G(jw_c)H(jw_c)|a = 1 \quad (5.63)$$

A *margem de fase* é definida como o atraso adicional necessário para que o sistema se torne marginalmente estável. Se designarmos por w_ϕ a frequência (*frequência da margem de fase*) para a qual o módulo de $GH(jw)$ é unitário, temos:

$$\gamma = \pi + \angle G(jw_\phi)H(jw_\phi) \quad (5.64)$$

5.7.1 Exemplo

Vamos considerar a função de transferência $GH(s) = \frac{22.8}{(s+1)(s+2)(s+3)}$. Para determinar as margens de ganho e de fase, vamos separar $GH(jw)$ em partes real e imaginária. Então:

$$GH(s) = \frac{22.8}{(s+1)(s+2)(s+3)} = \frac{22.8}{s^3 + 6s^2 + 11s + 6}$$

$$GH(jw) = \frac{22.8}{(jw)^3 + 6(jw)^2 + 11(jw) + 6} =$$

$$= \frac{22.8}{(6-6w^2) + j(11w-w^3)} = \frac{22.8[(6-6w^2) - j(11w-w^3)]}{(6-6w^2)^2 + (11w-w^3)^2} =$$

$$= \frac{22.8(6-6w^2)}{(6-6w^2)^2 + (11w-w^3)^2} - \frac{j22.8(11w-w^3)}{(6-6w^2)^2 + (11w-w^3)^2}$$

Para determinar a margem de ganho iguala-se a 0 a parte imaginária:

$$11w - w^3 = 0 \Leftrightarrow (w_c = 0) \vee (jw_c = \pm\sqrt{11})$$

e o módulo correspondente a essa frequência, frequência da margem de ganho, é:

$$|GH(jw)| = \frac{22.8}{60} = \frac{1}{2.6}$$

Logo a margem de ganho é de 2.6, ou 8.4 dbs.

Para determinar a frequência da margem de fase, temos de determinar a frequência para a qual o ganho é unitário.

$$|GH(jw)| = \left| \frac{22.8}{(6-6w^2) + j(11w-w^3)} \right| = \frac{22.8}{\sqrt{x^2 + y^2}} = 1$$

$$x^2 + y^2 = 22.8^2 \Leftrightarrow (6-6w^2)^2 + w^2(11-w^2)^2 = 22.8^2 \Leftrightarrow$$

$$(6-6z)^2 + z(11-z)^2 = 22.8^2 \Leftrightarrow 36 - 72z + 36z^2 + 121z - 22z^2 + z^3 = 22.8^2$$

$$z^3 + 14z^2 + 39z - 484 = 0$$

Esta equação tem como soluções (empregando Matlab) $z = 4.2 \vee z = -9 \pm 5.7j$. Isto implica que, para $w = \pm 2.05$ rad/s o módulo é unitário. Esta é a frequência da margem de fase.

A margem de fase propriamente dita é dada por:

$$\gamma = \pi - \tan^{-1}\left(\frac{2.05}{1}\right) - \tan^{-1}\left(\frac{2.05}{2}\right) - \tan^{-1}\left(\frac{2.05}{3}\right) = 0.63 \text{ rad} = 36^\circ.$$

A figura seguinte ilustra, com o diagrama de Bode, as margens de fase e de ganho obtidas em simulação.

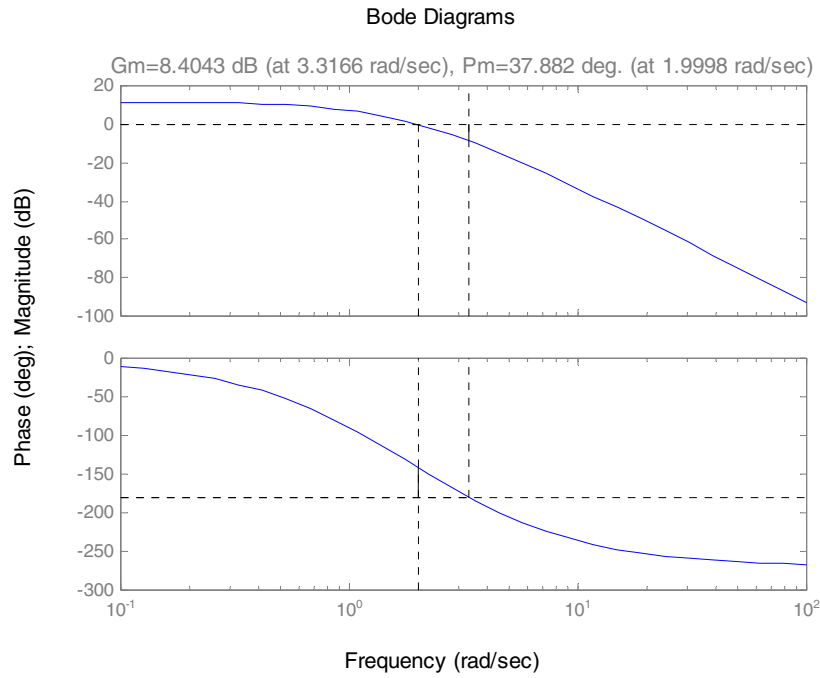


Figura 5.19 – Margens de fase e de ganho

5.8 Resposta em malha fechada

A partir da resposta na frequência de um sistema em malha aberta pode-se obter uma aproximação à resposta na frequência do sistema em malha fechada. Consideremos um sistema em malha fechada com realimentação. A sua função de transferência é:

$$\frac{G(j\omega)}{1 + G(j\omega)} = M(\omega)e^{-j\phi(\omega)} \quad (5.65)$$

Se escrevermos a função de transferência em malha aberta em termos de parte real e imaginária, temos:

$$G(j\omega) = u(j\omega) + jv(j\omega) = u + jv \quad (5.66)$$

A amplitude vale:

$$M(\omega) = \left| \frac{G(\omega)}{1 + G(\omega)} \right| = \frac{\sqrt{u^2 + v^2}}{\sqrt{(1+u)^2 + v^2}} \quad (5.67)$$

Se quadrarmos (5.67), ficamos com:

$$\begin{aligned}
u^2 + v^2 &= M^2 \left((1+u)^2 + v^2 \right) \\
u^2 (1-M^2) - 2M^2 u + v^2 (1-M^2) &= M^2 \\
u^2 + v^2 - \frac{2M^2 u}{1-M^2} &= \frac{M^2}{1-M^2}
\end{aligned} \tag{5.68}$$

Se adicionarmos $\left(\frac{M^2}{1-M^2} \right)^2$ a ambos os membros de (5.68), ficamos com um quadrado perfeito:

$$\begin{aligned}
u^2 + v^2 - \frac{2M^2 u}{1-M^2} + \left(\frac{M^2}{1-M^2} \right)^2 &= \frac{M^2}{1-M^2} + \left(\frac{M^2}{1-M^2} \right)^2 \\
\left(u - \frac{M^2}{1-M^2} \right)^2 + v^2 &= \frac{M^2}{(1-M^2)^2}
\end{aligned} \tag{5.69}$$

Esta última equação consitui a equação de uma circunferência com centro em $\left(\frac{M^2}{1-M^2}, 0 \right)$ e raio $\frac{M}{(1-M^2)}$. Sobrepondo essas circunferências no diagrama de Nyquist, os pontos em que o diagrama intersecta cada circunferência dá-nos um par de valores (w_i, M_i) que nos permitem traçar a curva da resposta da frequência em malha fechada. Pegando nas equações (5.65) e (5.66) e utilizando o mesmo processo para a frequência, temos:

$$-\phi = \text{atan} \left(\frac{v}{u} \right) - \text{atan} \left(\frac{v}{1+u} \right) = \text{atan} \left(\frac{\frac{v}{u} - \frac{v}{1+u}}{1 + \frac{v}{u} \frac{v}{1+u}} \right) = \text{atan} \left(\frac{v}{u^2 + u + v^2} \right) \tag{5.70}$$

Aplicando tangente a ambos os lados, temos:

$$N(w) = \tan(-\phi) = \frac{v}{u^2 + u + v^2} \tag{5.71}$$

Rearranjando, temos:

$$\begin{aligned}
u^2 + u + v^2 &= \frac{v}{N} \\
u^2 + u + \left(\frac{1}{2}\right)^2 + v^2 - \frac{v}{N} + \left(\frac{1}{2N}\right)^2 &= \left(\frac{1}{2}\right)^2 + \left(\frac{1}{2N}\right)^2 \\
\left(u + \frac{1}{2}\right)^2 + \left(v - \frac{1}{2N}\right)^2 &= \frac{N^2 + 1}{4N^2}
\end{aligned} \tag{5.72}$$

Esta equação constitui a equação de uma circunferência com centro em $\left(\frac{1}{2}, -\frac{1}{2N}\right)$ e raio $\frac{\sqrt{N^2 + 1}}{2N}$. Do mesmo modo que para a curva de magnitude, podemos sobrepôr as

circunferências N num diagrama de Nyquist e esboçar a fase em malha fechada.

Na prática, é mais comum sobrepôr essas curvas num diagrama de Nichols. A figura seguinte ilustra esta aplicação para a o sistema em malha fechada, com realimentação unitária e função de transferência (5.34).

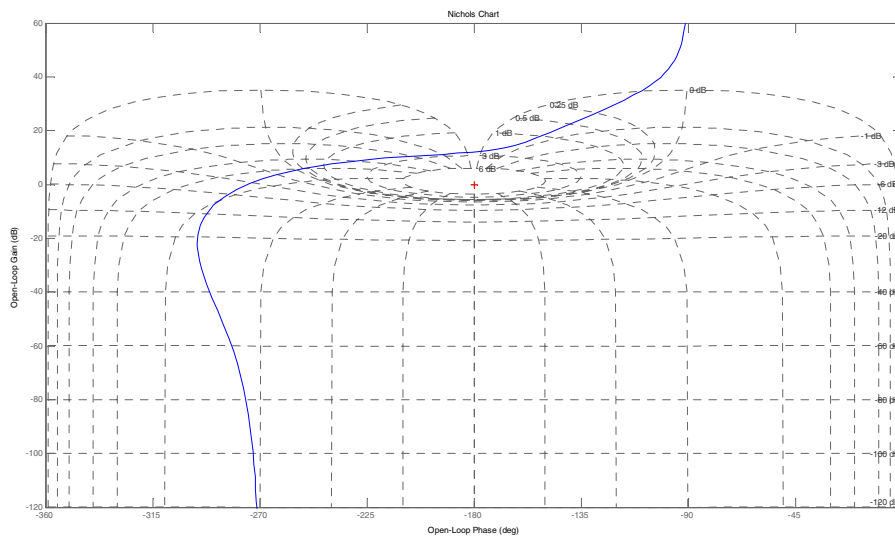


Figura 5.20 – Carta de Nichols, com círculos M e N
